

ارزیابی لرزه‌ای رفتار برج آبگیر استوانه‌ای تحت اثر زلزله‌های میدان دور و نزدیک با در نظر گرفتن طوques‌های بتی و اندرکنش آب‌سازه

احسان تیموری^{۱*} سعید عباسی^۲

۱. دانشجوی دکتری مهندسی عمران، دانشکده فنی و مهندسی، دانشگاه زنجان

۲. استادیار بخش مهندسی عمران، دانشکده فنی و مهندسی، دانشگاه زنجان

*Eteymouri@znu.ac.ir

تاریخ پذیرش: ۹۹/۱۱/۶ تاریخ دریافت: ۹۹/۸/۵

چکیده

در این مطالعه به بررسی آثار طوques‌های بتی و نیز زلزله میدان دور و نزدیک بر رفتار لرزه‌ای برج آبگیر پرداخته شده است. برای مدلسازی و آنالیز با درنظر گرفتن اندرکنش آب و سازه، از نرم‌افزار ANSYS که مبتنی بر روش اجزای محدود هست استفاده شده است. برای آنالیز بهتر این مدل‌ها دو زلزله میدان دور و نزدیک انتخاب شده و به یک شتاب یکسان مقیاس شده‌اند. در ادامه ۶۶ آنالیز برای سه حالت برج اعم از فقط سازه برج آبگیر بدون مخزن، برج آبگیر با مخزن پیرامونی و داخل برج خالی و برج آبگیر با مخزن پیرامونی و داخل برج پر انجام گرفته است. نتایج حاصل از تغییر مکان، تنش و عکس العمل تکیه‌گاهی برج آبگیر تحت آنالیزهای مربوطه با یکدیگر مقایسه شده است. با توجه به نتایج بدست آمده مشخص شد که آثار زلزله میدان نزدیک در ماکریم تغییر مکان، تنش و عکس العمل تکیه‌گاهی به مراتب بیشتر از زلزله میدان دور است با این وجود مقادیر پاسخ‌ها به محتوای فرکانسی زلزله علاوه بر میدان نزدیک بودن آن بستگی دارد. همچین نتایج نشان داد که افزودن طوques‌های بتی در ترازهای بالا و نزدیک به هم آثار خیلی خوب و مثبتی داشته و باعث کاهش مقادیر ماکریم تنش‌ها، عکس العمل تکیه‌گاهی، تغییر مکان‌ها و نیز تغییر مکان نسبی می‌شود.

واژگان کلیدی: برج آبگیر، طوqe بتی، مدلسازی المان محدود، اندرکنش آب و سازه، زلزله میدان دور و نزدیک

است. پژوهشگران مطالعات بسیاری را در حوزه ارزیابی عملکرد برج‌های آبگیر انجام داده‌اند [۱, ۲, ۳, ۴, ۵, ۶, ۷]. این پژوهشگران بیشتر روی سازه‌های موجود تمرکز کرده و رفتار آن را بسته به شرایط مختلف ساختگاه، ارتفاع برج آبگیر، شرایط مخزن، فاصله سد از برج آبگیر و تراز آب بررسی قرار دادند و کمتر روی پارامترهای دیگری اعم از آثار طوqe

۱- مقدمه

برج‌های آبگیر جزء بخش‌های اساسی سدها به حساب می‌آیند و جریان آب خروجی از مخزن سدها را تامین می‌نمایند. از آنجایی که تامین آب مورد نیاز پس از زمین لرزه از اهمیت زیادی برخوردار است از این رو ارزیابی لرزه‌ای برج آبگیر و قابلیت خدمت‌دهی آن‌ها پس از زمین لرزه بسیار حائز اهمیت

که مقادیر تغییرمکان در حالات زلزله میدان نزدیک به مراتب بیشتر از زلزله میدان دور است [20]. هرچند مطالعات زیادی حوزه زلزله‌های میدان دور و نزدیک انجام شده است اما در مورد برج‌های آبگیر و برج‌های آبگیر با سازه‌های متصل به آنها این مطالعات کمتر مورد توجه پژوهشگران قرار گرفته است. از این رو در این مطالعه آثار زلزله میدان دور و نزدیک بر پاسخ لرزه‌ای برج آبگیر با استفاده از نرم‌افزار ANSYS و برای 33 مدل ساخته شده در این نرم‌افزار اعم از برج آبگیر بدون طوفه بتئی و برج آبگیر با طوفه بتئی در چهار تراز ارتفاعی مختلف بررسی شده است.

۲- شرایط مرزی و معادلات حاکم

معادلات حاکم بر سیستم کوپل اندرکنش سازه-سیال و شرایط مرزی آن در شکل (۱) نشان داده شده است. در شکل مزبور حوزه سازه با Ω_s نشان داده شده است و شامل سازه برج آبگیر است، سیال نیز با Ω_w نشان داده شده است که شامل آب پیرامونی با مرز نامحدود و آب داخل برج است. معادلات حاکم بر حوزه سازه بر پایه تغییرمکان و فرمولاسیون لاگرانژی می‌باشد:

$$\nabla \cdot \sigma - \rho_s \ddot{u} = 0 \quad (1)$$

در رابطه بالا σ ، u و ρ_s به ترتیب تانسور تنش کوشی، بردار تغییرمکان و چگالی جامد هستند. معادله حاکم بر حوزه سیال از فرمولاسیون اویلری بر پایه فشار با فرض جایجایی‌های کوچک، غیرلنج بودن سیال صرف نظر از تغییرات زمانی و مکانی دانسیته آب استفاده می‌کند که به صورت زیر ارائه می‌شود:

$$\nabla \cdot p - \frac{c^2}{\rho_s} \ddot{p} = 0 \quad (2)$$

در رابطه بالا p فشار سیال و C سرعت صوت در سیال است. سه شرط مرزی اصلی برای سیال در شکل (۱) نشان داده شده است که عبارت از شرط مرزی سطح آزاد سیال Γ_{wf} ، شرط مرزی اندرکنش سازه و سیال Γ_{WSI} و شرط مرز دور Γ_{LF} هستند. برای سطح آزاد سیال با نادیده در نظر گرفتن نوسانات سطحی شرط مرزی $P=0$ می‌تواند برای مرز Γ_{wf} در نظر گرفته

بتئی و آثار زلزله میدان دور و نزدیک بر رفتار لرزه‌ای برج آبگیر تمرکز کرده‌اند. ارجمندی و کلانتری الگوی رشد ترک در سد قوسی OKHURA و برج آبگیر متصل به آن را تحت آنالیز لرزه‌ای ارزیابی کردند. نتایج کار آنها نشان داد که الگوهای ترکیبی ترک در محل اتصال المان افقی برج آبگیر به بدنه سد ایجاد شده که منجر به بروز ترک در عمق بدنه نیز می‌شود. [10]. پیرهادی و عالم باقری در سال 2019 یک سیستم کوپل دینامیکی از پل بتئی برج آبگیر و اندرکنش با آب مخزن و فونداسیون را به صورت عددی با در نظر گرفتن یک برج آبگیر مستغرق در مخزن و یک پل دسترسی متصل شده به بالای برج را مورد مطالعه قراردادند. نتایج کار آنها نشان داد که حضور پل به صورت قابل ملاحظه‌ای روی پاسخ دینامیکی برج تاثیر دارد [11]. تأثیر حرکات زمین نزدیک به گسل در بسیاری از سازه‌های مهندسی عمران مانند ساختمان‌ها و پل‌ها و غیره مورد بررسی قرار گرفته است [14, 15]. مانیاتاکیس و همکاران برای رکوردهای ثبت شده بین سال‌های ۱۹۷۵ الی ۱۹۹۹ در کشور یونان معیارهای تعیین رکوردهای زلزله میدان نزدیک را به کار بردن [16]. قائم مقامیان و خلیلی شبیه‌سازی حرکات توانمند زمین در حوزه نزدیک گسل را به وسیله مدل کامپیوتری معرفی نمودند [17]. آکوسه و شیمشک یک سد بتئی وزنی را تحت بارگذاری لرزه‌ای زلزله میدان دور و نزدیک و با در نظر گرفتن آثار اندرکنش سد-آب-رسوبات و فونداسیون مورد بررسی قرار دادند نتایج کار آنها نشان داد که تغییرشکل‌ها تحت اثر زلزله میدان نزدیک از زلزله میدان دور بیشتر است [18]. مرادلو و حسینی آثار زلزله‌های میدان دور و نزدیک را بر پاسخ غیرخطی سدهای بتئی وزنی با در نظر گرفتن پی بدون جرم و پی صلب مورد مطالعه قرار دادند. نتایج کار آنها حاکی از این بود که هرچند در بیشتر حالات آثار زلزله‌های میدان نزدیک بر پاسخ لرزه‌ای سد به مراتب بیشتر از حالات زلزله میدان دور است اما باید زلزله‌های مزبور از لحاظ دانسیته انرژی معین، محتوای فرکانسی و احتمال رخداد تشید مورد بررسی قرار گیرند [19]. کارابولوت و همکاران در سال ۲۰۱۶ تحلیل لرزه‌ای سد بتئی قوسی را با در نظر گرفتن آثار فونداسیون تحت زلزله میدان دور و نزدیک انجام دادند نتایج کار آنها نشان داد

گسترش مولد زلزله نسبت به ساختگاه متغیر است از این رو فاصله زلزله از ساختگاه سازه به تنها ی نمی تواند مبین زلزله میدان دور یا نزدیک باشد و برای تعیین نوع رکورد زلزله معیارهای دیگری نیز لازم است [21]. مانیاتاکیس و همکاران [16] معیارهایی را برای تعیین زلزله های میدان دور و نزدیک برای زلزله های رخ داده در یونان بین سال های ۱۹۷۵ الی ۱۹۹۹ به کار برند که در جدول شماره (۱) ارائه شده است. این معیارها عبارتند از :

- ۱- بیشینه شتاب افقی زمین (PGA)
- ۲- سرعت مطلق تجمعی (CAV) که به صورت زیر

تعريف می شود:

$$CAV = \int_0^t |a_g(t)| \quad (5)$$

در رابطه فوق t_r زمان کل شتاب نگاشت است.

۳- شدت Arias که به صورت زیر تعریف می شود:

$$I_A = \frac{1}{2g} \int_0^t |a_g(t)| dt \quad (6)$$

در رابطه بالا $a_g(t)$ شتاب زمین است.

۴- پارامتر پتانسیل خرابی که به صورت زیر تعریف می شود:

$$I_p = PGAt_D \quad (7)$$

در رابطه بالا t_D مدت زمان حرکت قوی زمین است.

۵- ریشه مربعات a_{rms} که از رابطه زیر به دست می آید:

$$a_{rms} = \sqrt{\frac{1}{t_D} \int_{t_D} t_a a_g(t)} \quad (8)$$

شود. شرط مرزی در مرز Γ_{WSI} با درنظر گرفتن عدم جریان در محل ارتباط سیال و سازه می تواند به صورت زیر نوشته شود:

$$\frac{\partial u}{\partial n} = -\rho_F \ddot{u}_n \quad (3)$$

شکل ۱. سیستم کوپل اندرکنش آب، سازه و مرزهای پیرامونی

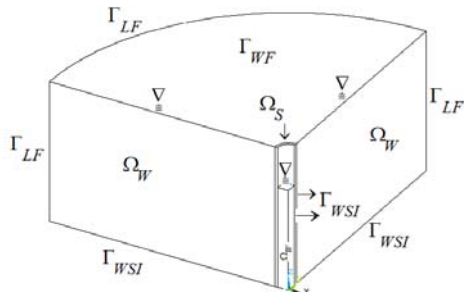


Fig. 1. Water-structure interaction coupling system and surrounding boundaries

که در رابطه بالا ρ_F جرم سیال، n بردار عمود بر مرز Γ_{WSI} است.

شرط مرزی سامرفلید برای مرز دور قطع شده به صورت زیر است:

$$\frac{\partial p}{\partial n} = -\frac{c}{c} \quad (4)$$

۳- پارامترهای زلزله میدان دور و نزدیک

زلزله های میدان دور و نزدیک از لحاظ محتوای فرکانسی و شکل رکورد و از نظر تاثیر بر سازه ها با یکدیگر تفاوت دارند. از آنجایی که شتاب وارد شده به سازه در زلزله میدان نزدیک با توجه به فاصله سازه از مرکز زلزله و جهت قرارگیری و

جدول ۱. کمینه مقدار پارامترهای لازم برای تعیین زلزله های میدان نزدیک

Low limit	Ground motion characteristics				Ground motion parameters
	Amplitude	Frequency content	Continuity	Energy	
0.2 (g)	*				PGA
0.3(g sec)	*			*	CAV
20(cm/sec)	*			*	PGV
0.4 (m/sec)	*		*	*	I _A
30 (cm sec ^{-0.75})	*		*		I
0.5 (m/sec)	*	*	*		a _{rms}
0.1 (sec)					PGV/PGA

Table 1. Minimum amount of required parameters to determine near field earthquakes

اساس روش تشخیص زلزله میدان نزدیک انتخاب شده اند که

مشخصات و شتابنگاشت آنها به ترتیب

با توجه به شرایط ارائه شده در جدول شماره (۱) در این مطالعه

۲ مورد از زلزله کوبه ژاپن با توجه به مشخصات آنها و بر

آبگیر این زلزله‌ها به شتاب یکسان $0.5g$ مقیاس شده‌اند.

در جداول (۲) و (۳) نشان داده شده است. در این مطالعه برای

بررسی بهتر آثار طوچه‌های افزوده شده بر بدنه خارجی برج

جدول ۲. مشخصات زلزله کوبه

Name	Region	Latitude	Longitude	Depth	Mechanism	Strike	Dip	Rake	Mw
Kobe	Japan	34.5948	135.0121	17.9	Strike-slip	230	85	180	6.9

Table 2. Characteristics of Kobe earthquake

جدول ۳. زلزله میدان دور و نزدیک انتخاب شده با استفاده از پارامترهای جدول ۱

PGV/PGA	a_{rms} (sec)	Earthquake classification criteria based on Table 1					Station distance (km)	Earthquake Type	Name	Row
		I	IA	PGV	CAV	PGA				
0.1	0.5	30	0.4	20	0.3	0.2				
0.1114	1.299	153.9852	8.377	91.108	2.0985	0.834	1	Near	KOBE	1
0.06656	0.22167	9.488	0.09096	5.157	0.2743	0.079	86.94	Far	KOBE	2

Table 3. The near and far-field earthquakes which selected using the parameters of Table 1

شده برای تمامی مدل‌ها ۵٪ است که با استفاده از میرایی رایلی ضرایب آلفا و بتای مورد نیاز برای آنالیز لرزه‌ای بدست آمده است. در این سازه‌ها از فونداسیون صلب استفاده شده است. طوچه‌های بتنی افزوده شده به این سازه‌ها از جنس بتن خود بدنه سازه برج آبگیر و به ضخامت ۶/۰ متر و شعاع خارجی آن‌ها نیز به میزان یک متر بیش تر از شعاع خارجی برج آبگیر در نظر گرفته شده است که به صورت یکپارچه با بدنه استوانه‌ای برج آبگیر لحاظ شده‌اند. طول حوزه سیال مدلسازی شده برای بررسی لرزه‌ای برج آبگیر مطابق مرجع [۹] به اندازه ۳۰ برابر میانگین شعاع بدنه اصلی برج آبگیر در طول و عرض مخزن در نظر گرفته شده است که این مقادیر برای در نظر گرفتن آثار دینامیکی سیال اطراف برج کفایت می‌کند. در این مطالعه برای شرط مرزی سازه (اعم از فونداسیون صلب و بدنه برج آبگیر با درنظر گرفتن طوچه‌های بتنی) و سیال داخل و خارج برج آبگیر شرایط اندرکنشی تعريف شده است.

۴- مدل اجزاء محدود سیستم برج آبگیر و مخزن

در شکل (۲) مدل‌های المان محدود برج آبگیر مورد مطالعه به همراه مخزن پیرامونی و آب داخل برج نشان داده شده است. برای مدلسازی بدنه برج از المان Solid95 و برای مدلسازی سیال از المان Fluid30 استفاده شده است. برای یافتن اندازه‌های مناسب مشبندی و نیز سایز المان‌ها، مدل‌های اصلی ابتدا چندین بار مورد آنالیز فرکانسی قرار گرفت و پس از کاهش میزان خطای زیر ۳٪ نسبت به مرجع اصلی به عنوان مدل اولیه مدنظر قرار گرفت و سپس آنالیزهای بعدی انجام گفت. همان‌گونه که در شکل (۲) و جدول (۴) ارائه شده است ۱۱ مدل برج آبگیر در سه حالت شامل فقط سازه برج، برج آبگیر با مخزن پیرامونی بدون آب داخلی و برج آبگیر با مخزن پیرامونی و آب داخلی مدل شده است که جمعاً ۳۳ مدل را شامل می‌شود که تحت آثار زلزله میدان دور و نزدیک قرار گرفته است. میرایی در نظر گرفته

جدول ۴. مشخصات مادی برج آبگیر و سیال

Concrete		
Density (kg/m ³)	Modulus of Elasticity(Gpa)	Poisson ratio
2480	34.5	0.17
Water		
(kg/m ³) Density	Bulk Modulus(kg/m ³)	
1000	2068.5	

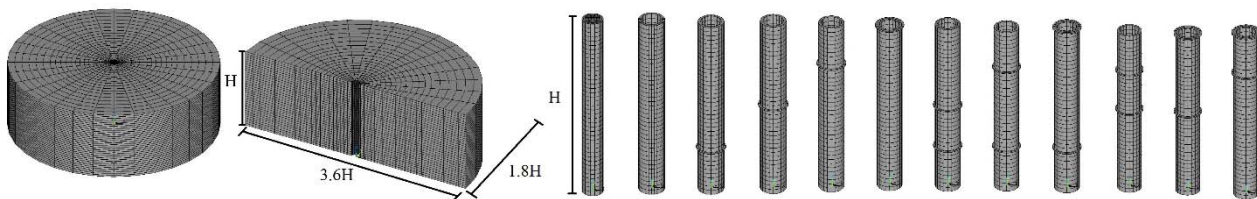
Table 4. Material properties of the intake tower and Fluid

جدول ۵. مشخصات هندسی مدل‌های برج آبگیر

Ring Thickness (m)	Radius of ring (m)		Radius of the intake tower (m)		Height (m)	Material	Without the ing	Model A
	External	Internal	External	Internal				
-	-	-	6.80	5.44	100	Concrete	Without the rings	Other Models
0.6	7.80	6.80	6.80	5.44	100	Concrete	With the rings	

Table 5. Geometric characteristics of the intake tower models

شکل ۲. مدل المان محدود برج های آبگیر، مخزن پیرامونی و آب داخلی و نیز مرزهای اندرکنش برج آبگیر طبقه دار

**Fig. 2.** Finite element model of the intake towers, the peripheral reservoir, and internal water as well as interaction boundaries of the intake tower and water

آنالیز فرکانسی برج آبگیر ساخته شده و فرکانس ارائه شده برای مدل اصلی در مرجع [6] در جدول (۶) نشان داده شده است که نتایج نشان از دقت مناسب روش مدلسازی دارد. در ادامه سایر مدل های مورد مطالعه با افزودن طوفه بتنی در ترازهای ارتفاعی ذکر شده و با استفاده از روش استفاده شده در راستی آزمایی شبیه سازی و مورد مطالعه قرار گرفتند. در جدول شماره (۷) اسمی مدل ها ارائه شده است.

۵- راستی آزمایی

در این قسمت برای اطمینان از روش مدل سازی سازه های مورد بررسی ابتدا دو مدل عددی از برج آبگیر استوانه ای با مقطع دایروی ثابت و با ضخامت ثابت در کل ارتفاع برج آبگیر، مطابق مشخصات مرجع [6] ساخته شده و تحت آنالیز فرکانسی قرار گرفت و درصد اختلاف فرکانس آن با مرجع مذبور برای دو حالت ارائه شده بررسی شد. نتایج حاصل از

جدول ۶. نتایج آنالیز فرکانسی و مقایسه با مدل اصلی (HZ)

Percentage error	Ref [6]	Present Study	Model
2.05	0.90718	0.88864	Intake Tower without the reservoir
2.70	0.67641	0.65817	Intake Tower with the Surrounding reservoir

Table.6. Results of the Frequency analysis and comparison with the original model (HZ)

جدول ۷. مدل های برج های آبگیر با طوفه های افزوده شده و فواصل آنها از پایین برج

Elevation of the rings	Name of the models										
	A	B	C	D	E	F	G	H	I	J	K
PM model	✓										
0.25 H		✓			✓	✓	✓				
0.5 H			✓		✓			✓	✓		
0.75H				✓		✓		✓		✓	
H					✓		✓		✓	✓	✓

Table.7. Models of the intake tower with the added rings and their distances from the bottom of the tower

طوری که برای مدل برج آبگیر با طوفه های بتنی در تراز ۷۵ و ۱۰۰ متری مقدار ماکریم تغییر مکان افقی برای زلزله میدان دور و نزدیک به ترتیب به میزان ۳٪ و ۲٪٪ نسبت به مدل بدون طوفه کاهش می یابد. برای برج آبگیر با مخزن پیرامونی و داخل برج خالی مطابق نتایج جدول (۱۲) مشخص می شود با افزایش ارتفاع طوفه های بتنی و نزدیک شدن تراز ارتفاعی آنها به یکدیگر مقدادیر ماکریم تغییر مکان کاهش می یابد به طوری که بیشترین کاهش برای مدل برج آبگیر با طوفه های بتنی در تراز ۷۵ و ۱۰۰ متری رخ داده است، این کاهش برای زلزله میدان دور و نزدیک به ترتیب برابر با ۳/۱۷٪ و ۱/۲٪ است. همچنین

۶- تحلیل لرزه ای

در جداول شماره (۱۱) الی (۱۳) مقدادیر ماکریم تغییر مکان و در جداول (۱۴) الی (۱۶) ماکریم تنش و عکس العمل تکیه گاهی برج آبگیر ارائه شده است. با توجه به نتایج ارائه شده در جداول (۱۱) الی (۱۳) مشخص می شود که مقدادیر تغییر مکان در هر سه راستای X, Y و Z برای زلزله میدان نزدیک به مراتب بیشتر از زلزله میدان دور است. با توجه به نتایج جدول (۱۱) مشخص می شود که برای برج آبگیر بدون مخزن هر چقدر تراز قرار گیری طوفه ها در قسمت های بالاتر برج باشد و نیز نزدیک به هم باشد مقدادیر ماکریم تغییر مکان افقی بیشتر کاهش می یابد، به

نسبی در طول بدنه برج است. با توجه به نتایج ارائه شده برای سه حالت مورد بررسی مشخص می شود که در بیشتر موارد استفاده از طوقيه های بتني در ترازهای بالا و نزديک به هم باعث افزایش ايماني سازه می شود و همچنین افزودن طوقيه بتني منفرد در ترازهای پايان علاوه بر اينکه در زمان پر بودن داخل برج سبب کاهش ماکريمم تغييرمکان افقى و تغييرمکان نسبی می شود در سایر حالات نيز باعث افزایش محسوسی در مقدار ماکريمم تغييرمکان افقى نمی شود. در ادامه با توجه به نتایج ارائه شده در جداول (۱۲ و ۱۳) مشخص می شود که با افزودن آب داخل برج تغييرات مقادير ماکريمم تغييرمکان نسبت به حالتی که فقط مخزن پيرامونت را داريم بستگی به نوع زلزله و محتوای فركانسي آن دارد. در زلزله ميدان دور افزودن آب داخل برج سبب افزایش مقدار تغييرمکان در هر دو راستاي X و Y شده است در حالی که برای زلزله ميدان نزديک مقدار تغييرمکان در راستاي X و Y به ترتيب کاهش و افزایش يافته است که در صد ميزان ماکريمم افزایش بيشتر از ماکريمم کاهش است.

جدول ۱۱. بيشينه تغييرمکان بالاي برج آبگير بدون مخزن تحت اثر زلزله ميدان دور و نزديك

Model	Far-field			Near-field		
	Ux(cm)	Uy(cm)	Uz(cm)	Ux(cm)	Uy(cm)	Uz(cm)
A1	12.2574	4.9208	1.4742	33.1346	24.1262	3.9543
B1	12.2728	4.9290	1.4479	33.1903	24.1687	3.9601
C1	12.2650	4.9310	1.4852	33.1578	24.1650	3.9551
D1	12.2224	4.9128	1.5848	33.9821	24.0727	4.3673
E1	12.0255	4.8848	1.6743	33.5820	247632	4.4319
F1	12.2826	4.9383	1.4893	33.2097	24.2084	3.9610
G1	12.2406	4.9207	1.5874	33.0355	24.0716	4.3741
H1	12.0529	4.8915	1.6799	33.6360	24.8104	4.4384
I1	12.2303	4.9229	1.5880	33.0092	24.0608	4.3682
J1	12.0115	4.8976	1.6871	33.6028	23.7928	4.4338
K1	11.8807	4.8853	1.6829	33.4081	23.6268	4.4140

Table 11. Maximum displacement values on top of the intake tower without the reservoir due to the near and far-field earthquakes

جدول ۱۲. بيشينه مقادير تغييرمکان بالاي برج آبگير با مخزن پيرامونت و داخل برج خالي تحت اثر زلزله ميدان دور و نزديك

Model	Far-field			Near-field		
	Ux(cm)	Uy(cm)	Uz(cm)	Ux(cm)	Uy(cm)	Relative displacement for Uy
A2	13.1118	5.8748	1.7509	52.0593	16.9271	30.8141
B2	13.1317	5.8621	1.7571	52.0829	16.9391	29.6995
C2	13.1211	5.9009	1.7557	52.0786	16.9427	32.0228
D2	13.0373	5.9609	1.8422	51.9779	17.1755	23.2617
E2	12.7060	6.0683	1.9691	51.5329	18.1531	22.9859
F2	13.1638	5.7880	1.7620	52.0830	16.8584	25.6731
G2	13.0956	5.8536	1.8486	52.0357	16.9344	29.0688
H2	12.8786	5.9799	1.9733	51.5760	16.4986	23.0840
I2	13.0741	5.8865	1.8466	52.0352	16.9376	30.8383
J2	12.8337	6.0113	1.9718	51.5809	17.7022	22.8955
K2	12.6956	6.0648	1.9627	51.4920	18.0176	22.8080

Table 12. Maximum displacement values on top of the intake tower with the surrounding reservoir and intra-empty due to the near and far-field earthquake

جدول ۱۳. بیشینه مقادیر تغییر مکان بالای برج آبگیر برای سه حالت مورد بررسی و با مخزن پیرامونی و داخل برج پر

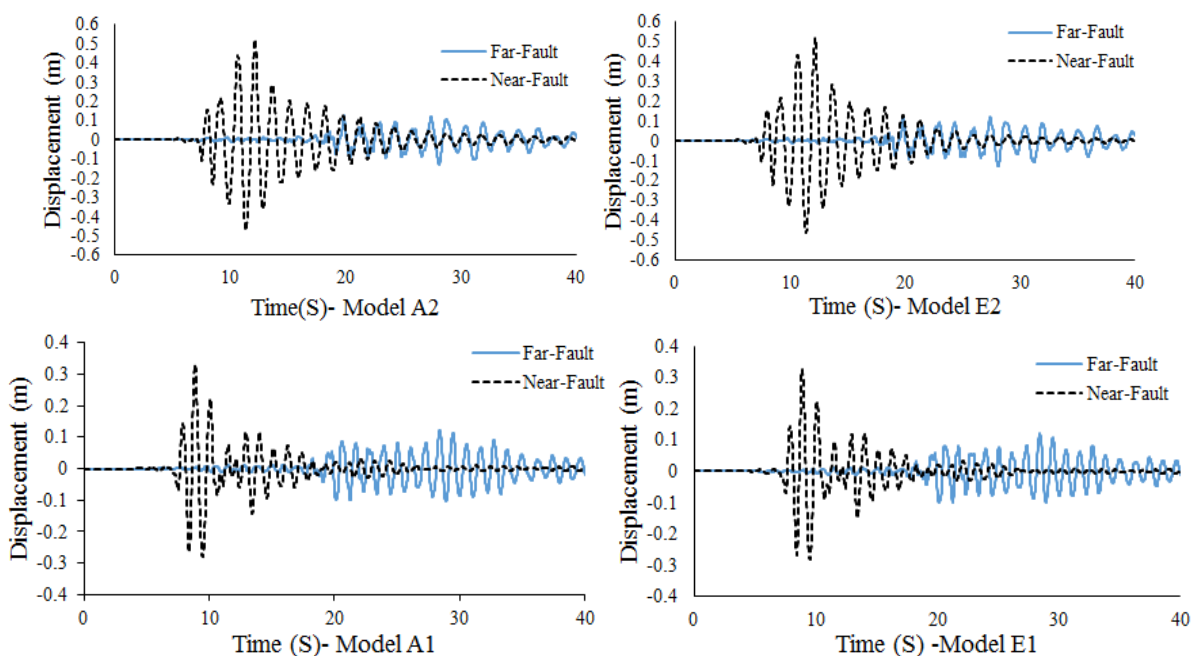
Model	Far-field				Near-field			
	Ux(cm)	Relative displacement for Ux	Uy(cm)	Relative displacement for Uy	Uz(cm)	Ux(cm)	Uy(cm)	Uz(cm)
A3	13.0475	19.5727	7.2605	12.3395	2.3698	47.0024	29.0725	5.2023
B3	12.9569	19.5935	7.5170	0	2.3440	46.9470	29.0705	5.1833
C3	13.1543	19.6772	7.1889	12.5607	2.3800	46.9938	29.0644	5.1972
D3	12.9982	19.4875	7.0955	12.7309	2.4267	46.9196	29.0009	5.7162
E3	13.2181	19.6183	6.8912	12.1505	2.6975	46.6336	28.7878	5.9173
F3	13.2011	19.7418	7.2549	12.3487	2.3901	47.0968	29.1124	5.2096
G3	13.0487	19.5562	7.1673	12.5299	2.4351	46.9984	29.0531	5.7262
H3	13.2597	19.6774	6.9088	12.1928	2.7089	46.7203	28.8511	5.9321
I3	13.0473	19.5434	7.0998	12.7470	2.4345	47.0011	29.0479	5.7269
J3	13.2707	19.6793	6.9039	12.1728	2.7049	46.7183	28.8369	5.9318
K3	13.1088	19.4905	6.8893	11.8376	2.6987	46.6375	28.7522	5.9291

Table 13. Maximum displacement values on top of the intake tower with the surrounding reservoir and intra-full due to the near and far-field earthquake

این زلزله که متناسب با زمان‌های انتهایی زلزله میدان نزدیک است بیشتر است. با افروده شدن مخزن پیرامونی مقدار تغییر مکان در نیمه ابتدایی شتاب شروع زلزله میدان دور کمتر از مقدار تغییر مکان در زلزله میدان نزدیک است و در نیمه انتهایی آن بیشتر از تغییر مکان در زلزله میدان نزدیک است. در نهایت زمانی که علاوه بر مخزن پیرامونی داخل برج آبگیر پر هست مقدار تغییر مکان در کل تاریخچه زمانی برای زلزله میدان دور کمتر از زلزله میدان نزدیک می‌شود.

در این قسمت تاریخچه زمانی تغییر مکان بالای برج آبگیر برای مدل‌های A1 الی A3 و E1 الی E3 در شکل (۳) ارائه شده است. با توجه به نمودارهای ارائه شده مشخص می‌شود که آثار زلزله میدان نزدیک بر پاسخ لرزه‌ای سازه به مراتب بیشتر از زلزله میدان دور است. همچنین رفتار سازه در زلزله میدان نزدیک به مراتب بیشتر از زلزله میدان دور تحت تاثیر حضور آب قرار می‌گیرد. به گونه‌ای که برای حالت برج آبگیر بدون مخزن مقدار تغییر مکان برای زلزله میدان دور در زمان شروع

شکل ۳. تاریخچه زمانی تغییر مکان بالای برج



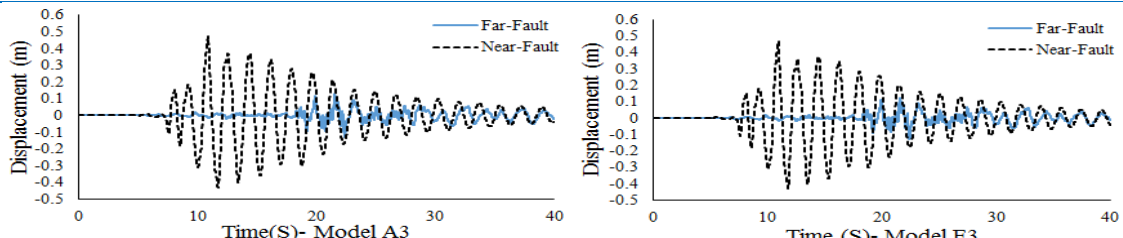


Fig. 3. Time history of displacement on top of the intake tower

مقادیر ماکریم تنش اصلی اول برج آبگیر برای زلزله میدان دور و نزدیک به ترتیب افزیش و کاهش یافته است که این نشانگر اهمیت محتویات فرکانسی زلزله بر رفتار آب و سازه دارد. در ادامه در شکل (۴ و ۵) برای زلزله میدان دور و نزدیک پوشش تنش اصلی اول مدل اصلی و مدلی که بیشترین کاهش تنش اصلی اول را نسبت به مدل اصلی دارند نشان داده شده است. همچنین در جدول (۱۴) الی (۱۶) نتایج برای مقادیر ماکریم عکس العمل تکیه‌گاهی برای ۳۳ حالت مورد بررسی تحت زلزله میدان دور و نزدیک نیز ارائه شده است. با توجه به نتایج ارائه شده در جداول مربوطه مشخص می‌شود که مقدار ماکریم عکس العمل تکیه‌گاهی برای زلزله میدان نزدیک در دو حالت برج آبگیر بدون مخزن و برج آبگیر با مخزن پیرامونی و داخل خالی به مراتب بیشتر از زلزله میدان دور است. با توجه به جداول (۱۲ و ۱۳) و (۱۵ و ۱۶) مشخص می‌شود که تغییر مقدار عکس العمل تکیه‌گاهی برای حالت برج آبگیر با مخزن پیرامونی و داخل برج پر نسبت به برج آبگیر با مخزن پیرامونی و داخل خالی همیشه روند افزایش را شاهد نخواهد بود و بستگی به نوع زلزله و محتویات آن دارد.

با توجه به نتایج ارائه شده در جداول (۱۴ الی ۱۶) مشخص می‌شود که مقادیر تنش اصلی اول برای زلزله میدان نزدیک و برای هر سه حالت به مراتب بیشتر از زلزله میدان دور است. با توجه به جدول (۱۴) مشخص می‌شود که برای برج آبگیر بدون مخزن طوفه‌های بتی تغییر چندانی روی تنش اصلی ایجاد نمی‌نمایند اما با این وجود چنانچه در ترازهای بالایی قرار گیرند و تراز طوفه‌ها به یکدیگر نزدیک باشد سبب کاهش تنش اصلی اول برای هر دو زلزله میدان دور و نزدیک نسبت به مدل بدون طوفه می‌شوند. ماکریم کاهش تنش اصلی اول برای هر دو زلزله میدان دور و نزدیک برای مدل با طوفه‌های بتی در تراز ۷۵ و ۱۰۰ متری اتفاق می‌افتد که به ترتیب مقدار ۴/۲٪ و ۷/۰٪ کاهش را نشان می‌دهد. با توجه به جدول (۱۵) برای برج آبگیر با مخزن پیرامونی و داخل خالی مشخص می‌شود که هرچقدر تراز طوفه‌های بتی بالاتر بوده و فاصله آنها نزدیک به هم باشد مقدار کاهش تنش اصلی اول بیشتر خواهد بود. ماکریم کاهش تنش اصلی اول برای مدل مذکور در زلزله میدان دور و نزدیک به ترتیب برابر با ۳۲/۱٪ و ۱۴/۸٪ است. نتایج تنش اصلی اول برای مدل برج آبگیر با مخزن پیرامونی و داخل پر در جدول شماره (۱۶) ارائه شده است. برای زلزله ۲۵ میدان دور ماکریم کاهش تنش اصلی اول در تراز ارتفاعی متری طوفه رخ داده و برابر با ۹/۰٪ کاهش است. برای زلزله میدان نزدیک هرچند تغییرات تنش اصلی اول با افزودن طوفه‌های بتی چندان محسوس نیست با این وجود با افزایش تراز ارتفاعی طوفه‌های بتی و کاهش فاصله بین آنها مقادیر تنش اصلی اول کاهش می‌یابد که ماکریم مقدار این کاهش برای مدل با طوفه‌های بتی در تراز ارتفاعی ۷۵ و ۱۰۰ متری رخ می‌دهد که نشانگر ۱۶/۱٪ کاهش می‌باشد. با توجه به نتایج ارائه شده در جداول (۱۵ و ۱۶) مشخص می‌شود که با افزودن آب داخلی

جدول ۱۴. ماکریم مقدار تنش‌های اصلی و عکس العمل تکیه‌گاهی برای برج آبگیر بدون مخزن

Model	Far-field			Near-field		
	S1(MPa)	S3(MPa)	Max Horizontal Reaction(KN)	S1(MPa)	S3(MPa)	Max Horizontal Reaction(KN)
A	A1	9.121	-15.3	37.770	35.972	-40.9
	B1	9.142	-15.4	38.309	35.959	-41.1
	C1	9.174	-15.4	37.860	35.894	-41
	D1	9.142	-15.5	37.237	35.500	-40.6
	E1	8.991	-15.5	36.785	34.840	-39.8
	F1	9.114	-15.4	38.350	34.043	-41.1
	G1	9.168	-15.5	37.770	35.655	-40.8
	H1	9.030	-15.5	37.250	34.986	-40
	I1	9.172	-15.5	37.318	35.584	-40.7
	J1	9.00	-15.5	37.011	34.909	-40
	K1	8.901	-15.6	36.194	34.508	-39.6

Table 14. Maximum values of the principal stresses and base reaction for the intake tower without the reservoir

جدول ۱۵. ماکریم مقدار تنش‌های اصلی و عکس العمل تکیه‌گاهی برای برج آبگیر بدون مخزن پیرامونی و داخل خالی

Model	Far-field			Near-field		
	S1(MPa)	S3(MPa)	Max Horizontal Reaction(KN)	S1(MPa)	S3(MPa)	Max Horizontal Reaction(KN)
B	A2	17.1	-13.9	70.62	59	-53.2
	B2	17.2	-14	71.17	59.2	-53.4
	C2	17.1	-14	70.75	58.9	-53.2
	D2	17	-13.9	70.60	58.4	-53.3
	E2	17.2	-13.8	17.18	56.9	-50.2
	F2	15.6	-13.4	72.23	57	-53
	G2	15.6	-13.3	72.13	56.6	-52.6
	H2	15.7	-13.3	72.53	54.9	-51.5
	I2	15.5	-13.3	71.68	56.3	-52.5
	J2	15.7	-13.2	72.14	54.7	-51.2
	K2	15.6	-13.2	71.91	54.2	-50.8

Table 15. Maximum values of the principal stresses and base reaction for the intake tower without the reservoir and intra- empty

جدول ۱۶. ماکریم مقدار تنش‌های اصلی و عکس العمل تکیه‌گاهی برای برج آبگیر با مخزن پیرامونی و داخل پر

Model	Far-field			Near-field		
	S1(MPa)	S3(MPa)	Max Horizontal Reaction(KN)	S1(MPa)	S3(MPa)	Max Horizontal Reaction(KN)
C	A3	29.0790	-32.9	165.870	52.897	-58.2
	B3	28.4692	-32.3	162.460	53.115	-58.4
	C3	30.5986	-34	164.300	55.175	-60.1
	D3	30.4125	-33.8	162.806	54.917	-59.8
	E3	308604	-34.3	165.980	54.3454	-59.3
	F3	29.4463	-33.3	168.630	53.1520	-58.5
	G3	29.2713	-33.1	167.140	52.8946	-58.3
	H3	29.7197	-33.1	170.480	52.7863	-58
	I3	29.2109	-33.1	166.710	52.7474	-58.1
	J3	29.5924	-33.1	169.620	52.7111	-57.9
	K3	29.5714	-32.9	169.130	52.2835	-57.5

Table 16. Maximum values of the principal stresses and base reaction for the intake tower with the reservoir and intra- full

شکل ۴. پوش تنش اصلی اول برای زلزله میدان دور

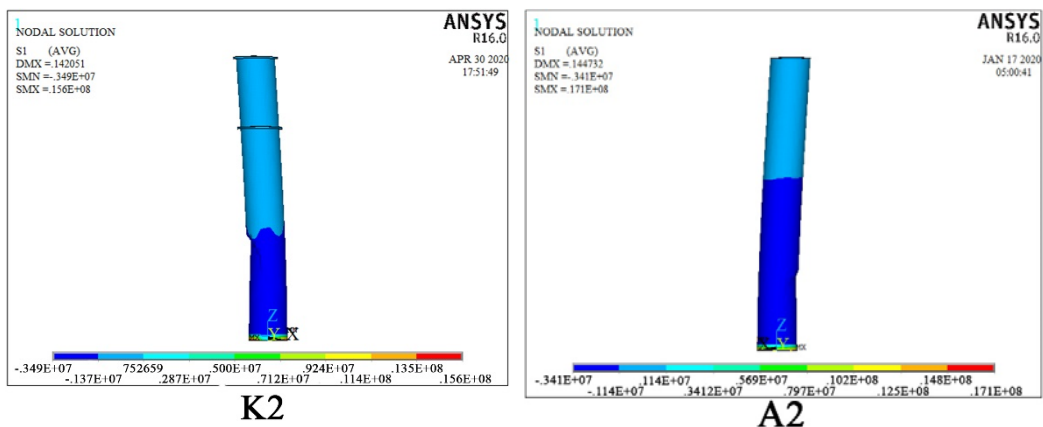


Fig. 4. Push of the first principle stress for the far-field earthquake

شکل ۵. پوش تنش اصلی اول برای زلزله میدان نزدیک

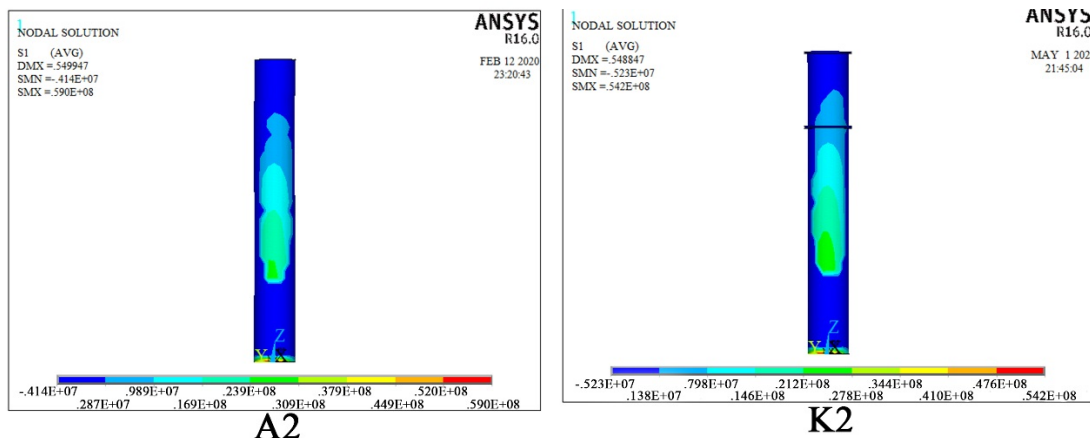


Fig. 5. Push of the first principle stress for the near-field earthquake

افزایش مدت زمان اثر زلزله میدان نزدیک بر پاسخ لرزه‌ای سازه
می‌شود.

(۲) مقایسه مقادیر ماکریم تغییرمکان برای حالت برج آبگیر با
داخل پر نسبت به زمانی که داخل آن خالی است نشان داد که
مقدار تغییرمکان برای برج آبگیر با مخزن پیرامونی و داخل پر
بستگی به نوع زلزله دارد چنانچه برای زلزله میدان نزدیک و
میدان دور به ترتیب سبب کاهش و افزایش مقدار ماکریم
تغییرمکان می‌شود.

(۳) افروden طوقه‌های بتی زمانی که به صورت تک طوقه و در
ترازهای پایین و بالای برج باشد و یا در ترازهای بالا بوده و
فوائل ترازهای ارتفاعی طوقه‌ها کم باشد باعث کاهش مقدار
تغییرمکان ماکریم می‌شود. همچنین افروden طوقه‌های بتی در
ترازهای ارتفاعی بالا و نزدیک به هم باعث کاهش مقادیر
ماکریم تنش اصلی اول و سوم در کل مدل‌ها می‌شود. همچنین

۸-نتیجه‌گیری

در این مطالعه آثار طوقه‌های بتی بر رفتار برج آبگیر مورد
مطالعه و بررسی قرار گرفت. بدین منظور از یک زلزله میدان
نزدیک و یک زلزله میدان دور استفاده شد. معیارهای تعیین
رکورد میدان نزدیک و ویژگی‌های مربوط به آن ارائه شد و با
استفاده از آن رکوردهای استفاده شده در این مطالعه دسته بندی
شد. تحلیل‌های انجام گرفته در سه حالت برج آبگیر تنها، برج
آبگیر با مخزن پیرامونی و داخل خالی و برج آبگیر با مخزن
پیرامونی و داخل پر انجام شد که در کل شامل ۶۶ آنالیز بود.

(۱) مقادیر ماکریم تغییرمکان در تمامی مدل‌های بررسی شده
در زلزله میدان نزدیک به مرتب بیشتر از زلزله میدان دور در
همان حالات است. همچنین با افزوده شدن آب به برج آبگیر
اعم از مخزن پیرامونی بدون آب داخلی یا با آب داخلی سبب

- with dam and foundation, *Soil Dynamics and Earthquake Engineering.* 84 108–119.
- [8] Alembagheri M. 2017 Frequency domain analysis of submerged tower-dam dynamic interacton, *Soil Mechanics and Foundation Engineering.* 54(4) 264-275.
- [9] Alembagheri M. 2016 Earthquake response of solitary slender freestanding intake towers, *Soil Dynamics and Earthquake Engineering.* 90, 1-14.
- [10] Arjomandi A.A. & Kalantari H. 2016 Evaluate patterns of crack growth and spread in Ohkura arch dam and intake tower connected to it under earthquake" *International Conference on Architecture, Urbanism, Civil Engineering, Art, Enviroment Future Horizons and Retrospect, Tehran, Iran.*(in Persian)
- [11] Prihadi P. & Alembagheri M. 2019 The influence of bridge–tower interaction on the dynamic behavior of intake–outlet towers, *SN Applied Sciences,* 16.
- [12] Zhang SH. & Wang G. 2013 Effects of near-fault and far-fault ground motions on nonlinear dynamic response and seismic damage of concrete gravity dams, *Soil Dynamics and Earthquake Engineering.*53 217-229
- [13] Mavroelidis G. P. & Papageorgiou A. S. 2003 A mathematical representation of near-fault ground motions, *Bulletin of the Seismological Society of America.* 93(3) 1099-1131.
- [14] Wang G. Q., Zhou X. Y., Zhang P. Z., & Igel H. 2002 Characteristics of amplitude and duration for near-fault strong ground motion from the 1999 Chi-Chi, Taiwan earthquake, *Soil Dynamics and Earthquake Engineering.* 22(1) 73-96.
- [15] Somerville P. G. 2003 Magnitude scaling of the near-fault rupture directivity pulse, *Physics of the Earth and Planetary Interiors.* 137(1) 2001-2012.
- [16] Maniatakis CH. A., Taflampas I. M., & Spyrikos C. C. 2008 Identification of Near-Fault Earthquake Record Characteristics, *14th World Conference on Earthquake Engineering, Beijing, China, 12-17 October.*
- [17] Ghayamghamian M.R. & Khalili B. 2005 The effects of fault local parameters and site geometry on near-fault pulse characteristics, *Research Bulletin of Seismology and Earthquake Engineering.* 42 (4). (in Persian)

نتایج نشان می دهد که ماکریم تاثیر طوقه ها برای برج آبگیر با مخزن پیرامونی و داخل خالی رخ داده است.

۴) مقادیر ماکریم عکس العمل تکیه گاهی در دو مدل برج آبگیر تنها و برج آبگیر با مخزن پیرامونی برای زلزله میدان نزدیک به مراتب بیشتر از زلزله میدان دور است اما برای مدل برج آبگیر با مخزن پیرامونی و داخل پر برای زلزله میدان دور بیشتر از زلزله میدان نزدیک هست که به دلیل کاهش تغییر مکان در راستای ماکریم برای زلزله میدان نزدیک است و نشان از آثار نوع زلزله در آنالیز لرزه های دارد.

۵) نتایج نشان داد که هرچند آثار زلزله میدان نزدیک در بیشتر مراتب بیشتر از زلزله میدان دور است ولی برای آنالیز دقیق تر بهتر است که زلزله میدان دور نیز مورد بررسی قرار گیرد و همچنین افزودن طوقه های بتنی در بیشتر موارد سبب بهبود رفتار سازه می شود به ویژه [چنانچه در ترازهای بالا و نزدیک به هم قرار گیرند.]

مراجع

- [1] Goyal A. & Chopra A. K. 1989 Simplified evaluation of added hydrodynamic mass for intake towers. *Proceedings of ASCE, Journal of Engineering Mechanics,* 115(7), 1393-1412.
- [2] Goyal A. & Chopra A. K. 1989 Earthquake analysis of intake–outlet towers including tower–water–foundation–soil interaction, *Earthquake Engineering and Structural Dynamics.* 18(3) 325-334.
- [3] Daniell W. E. & Taylor C. A 1994 Full-scale dynamic testing and analysis of a reservoir intake tower, *Earthquake Engineering and Structural Dynamics.* 23(11), 1219-1237.
- [4] Daniell W. E. & Taylor C. A. 2003 Developing a numerical model for a UK intake tower seismic assessment, *P. I. Civil Eng-water.* 56(1), 63-72.
- [5] Xaoxi Zh. & Zongmin W. 2005 The application of ANSYS software to the static and dynamic stress analysis of high intake tower, *Water power.* 31(3) 72-83.
- [6] Millan M. A., Young Y. L. & Prevost J. H. 2009 Seismic Response of Intake Towers Including Dam – Tower Interaction, *Earthquake Engineering and Structural Dynamics.* 38(3),307-329.
- [7] Alembagheri M. 2016 Dynamics of submerged intake towers including interaction

- Environmental Engineering.* 44(4) 25-38.(in Persian)
- [20] Karabulut M., Kartal M. E., Capar O. F., & Cavusli M. 2016 Earthquake Analysis of Concrete Arch Dams Considering Elastic Foundation Effects, *DISASTER SCIENCE AND ENGINEERING*. 2(2) 46-52.
- [21] Naeim F. 2001 The Seismic Design Handbook, 2th ed, Kluwer Academic Publishers.
- [18] Akköse M. & Şimşek E. 2010 Non-linear seismic response of concrete gravity dams to near-fault ground motions including dam-water-sediment-foundation interaction, *Applied Mathematical Modelling*. 34(11) 3685-3700.
- [19] Haj.Hoseyni J. & Moradloo J. 2015 Comparison of Near-Filed and Far-Filed Earthquakes on Nonlinear Response of Concrete Gravity Dams, *Journal of Civil and*

Seismic evaluation of the behavior of cylindrical intake tower under the effects of the far and near-field earthquakes by considering concrete rings and water-structure interaction

Ehsan Teymouri^{1*}, Saeed Abbasi²

1. PHD Student, School Of Civil Engineering, University Of Zanjan
2. Assistant Professor, School Of Civil Engineering, University Of Zanjan

*Eteymouri@znu.ac.ir

Abstract

In this study, the effects of the concrete rings as well as the far and near field earthquake on the frequency and seismic behavior of the intake tower have been investigated. For modeling and analysis with considering the interaction of water and structure, ANSYS software which is based on the finite element method is used. For a better analysis of these models, two far and near field earthquakes have been selected and scaled to the same maximum value acceleration. To evaluate the effects of concrete rings on the behavior of the intake tower, 33 intake tower models have been modeled by considering concrete rings in different number and height levels. In the following, 99 analyzes have been performed for three modes of the tower, including only the structure of the intake tower without a reservoir, the intake tower with the surrounding reservoir and without inside water and the intake tower with the surrounding reservoir and inside of the tower is full. The results of displacement, stress, and base reactions of the intake tower under the relevant analyzes have been compared with each other. Based on the results, it was found that the effects of a near-field earthquake at maximum displacements and stresses are far greater than a far-field earthquake. However, the values of the responses depend on the frequency of the earthquake in addition to its proximity to the field. The results also showed that surrounding water and internal water have different effects on the seismic response of intake towers affected by near and far field earthquakes. The presence of water increases the effective duration of the earthquake on the response of the intake tower, especially in the near field earthquake. The results showed that by adding circular rings, the frequencies of the intake towers undergo significant changes, which require seismic analysis to evaluate its effects. In the case of a intake tower without a surrounding reservoir and a intake tower with a surrounding reservoir and without inside water, the maximum values of displacement decrease with increasing the height of the concrete rings and decreasing the distance between them. For a intake tower with a surrounding reservoir and full inside, in the case of far field earthquake analysis, the greatest reduction in displacement occurs for a intake tower with a ring at 25 meters, while for a near field earthquake in this case the amount of displacement is further reduced with increasing height level of concrete rings. The pattern of changes in the first principal stresses for all the studied models is also in accordance with the changes in the values of the maximum displacement. The maximum values of the base reaction for the intake tower without surrounding reservoir and the intake tower with the surrounding reservoir and without inside water for near field earthquake are greater than for the far field earthquake while for the intake tower with surrounding reservoir and full inside for far field earthquake it is more than a near field earthquake which is due to the frequency content of the desired earthquakes. Eventually, the results showed that adding concrete platforms at high and close to each other has very good and positive effects also reduces the maximum values of stress, base reaction, displacement, and relative displacement.

Keywords: Intake tower, Concrete ring, Finite Element Method, Water-Structure interaction, Far-Field and Near-Field Earthquake